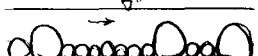


1 はしがき 急こう配の山地河道では、流れによる砂れきの淘汰が十分でなく、粒径範囲が広く、河床面の粒径分布は終局的に Armour Coat に達していない場合が多い。水深に比して相対的に粒径が大きい、このような流れで、粗度要素としての砂れきの特性といかに表現するのが妥当かについては、必ずしも明らかでない。さあつ抵抗に、突起する砂れきの高さと間隔が関係することはすぐに指摘されているところで、著者も図1のような砂面に粗れきが突起する場合の抵抗について考察し、粗れきが突起した面の抵抗係数 f_s と砂面の抵抗係数 f_r の比が

$$f_r/f_s = (1-\beta) + C \left(\frac{2.3}{K} \right)^2 \left(\frac{\delta}{\alpha k} \right)^p \left[A_3^2 / \left\{ \alpha \left(\frac{k}{l} \right) \log \left(\frac{h}{k} \right) + b \left(\frac{k}{l} \right) \right\} \right] \left(\frac{k}{l} \right)^2$$



と、突起した高さ δ とその間隔 k/l が大きな影響を与えることを述べた。¹⁾ ここに、図1 砂れき面のモデル β は後流の領域も含めた突起砂れきの支配面積率、 δ は後流の厚み、 p は β の表現に用いた指数、 K はカルマシ常数、 α は砂れき高さ δ と相当粗度 k/l を変換するための係数、 A_3 は平均流速と対数則で表わしたものとの係数である。この式と実験値と比較すると、良く一致することが見出されたが、砂れき面の k/l の表わし方に厳密性と k/l と表面粒径との結びつきが十分でなかった。実際河川で使用可能にするためにこの点を改善する必要がある。

砂れき面の平面的な分布特性を測定して、何らかの尺度を見出し、粗度をもと結びつけることは、実験水路では可能であるとしても、実際の河道で同様な方法を用いることは、困難がある。一つの方法として河床面のある縦断線に沿って凹凸を測定し、その線中に占める粗れきの割合から、 k/l を表すと同時に、表面粒径との結びつきをはらることが考えられる。本文は、とりあえず、河床面を占める粗れきの分布とある任意の線上において粗れきが占める緑分率の関係について述べる。

2. 粗れきの容積率、断面における面積率および線上の緑分率の関係

$-L$ の長さ L の立方体で限られた体積要素を考へ、立方体の表面からその位置の表面に平行な面において、特定の大きさのれきの占める面積率を $A_A(z)$ と表わすと、 L の区间にわたって平均されると $A_A(z)$ の期待値 $E(A_A)$ は、つぎのように表わされる。

$$E(A_A) = \bar{A}_A = \int_0^L A_A(z) f(z) dz \quad (1)$$

ここで、 $f(z) dz$ は、特定の粗れきが z と $z+dz$ の間にある確率である。この確率がどの面でも同じとすると、 $f(z) dz = dz/L$ となり、(1)式は

$$\bar{A}_A = \int_0^L A_A(z) dz / L = \int_0^L A(z) dz / L^3 \quad (2)$$

となる。 $\int_0^L A(z) dz =$ 立方体の中の特定の粗れきの全体積 V であるから(2)式は

$$\bar{A}_A = V / L^3 = \text{体積率} \quad (3)$$

と表わせる。この結果は、特定粒径の体積率は、ある断面のそのれきの占める面積率と等しいことを示す。これと同じ考え方を用いると、断面内のある緑分中にれきが占める緑分率 \bar{A}_L も \bar{A}_A と等しいという結果を得る。

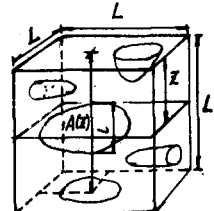


図2 単位体積中の粗れきの体積率

3. 弦の分率を求めたれきの大きさの分布

中心が空間中に一様に分布している直徑 D のれきを考える。図

3 のような円柱の単位体積において、体積中のれきの中心が N_V 個あるとする。割線の単位長さあたりの弦の数(長さ L から D まで)は

$$N_L(i,j) = \pi \chi^2(i,j) N_V(j) = \frac{\pi}{4} (D_j^2 - L_i^2) N_V(j) \quad (4)$$

となる。れきの直徑が D_i から D_k まであり、それらの単位体積中の数を χ 、
 $N_V(i) \sim N_V(k)$ であるとすると、割線の単位長さあたりの χ も大き

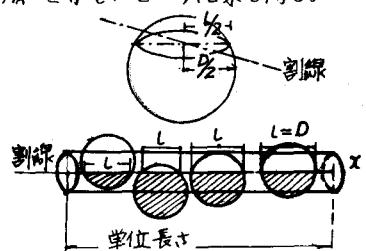


図3 単位体積中のれきの分布

きり切片の数は

$$N_L(i, K) = \frac{\pi}{4} \sum_{j=i}^K (D_j^2 - l_i^2) N_V(j) = \frac{1}{4} \sum_{j=i}^K \pi D_j^2 N_V(j) - \frac{\pi l_i^2}{4} \sum_{j=i}^K N_V(j) \quad (5)$$

$\sum \pi D_j^2 N_V(j) = S_V(i, K)$ はこれらのれきの全表面積で、 $\sum_{j=i}^K N_V(j) = N_V(i, K)$ は l_i よりも大きい直徑のれきの数である。 (4)式に代入すると、割線の単位長さあたりに、長さが l_i から D_{max} の間にある弦の数は次のようになる。

$$N_L(i, K) = \frac{1}{4} S_V(i, K) - \frac{\pi l_i^2}{4} N_V(i, K) \quad (6)$$

i) 繼続的分布；分布が連續的であるとき、(6)式は、次のように表わされる。

$$dN_L(i, K) = \frac{1}{4} dS_V(i, K) - \frac{\pi l_i^2}{4} dN_V(i, K) - \frac{\pi}{2} N_V(i, K) l_i dl \quad (7)$$

直徑が l_i と $l_i + dl$ の間にあらわれきについては、 $dS_V = \pi l_i^2 dN_V$ であるから、(7)式の右辺 1, 2 項はなくなり $dN_L(i, j) = \frac{\pi}{2} N_L(0, i)$, $dN_L(0, i) = \frac{\pi}{2} N_V(i, K) l_i dl$ の関係を用ひると、

$$dN_L(i, j) = \frac{\pi}{2} N_V(i, j) l_i dl \quad (8)$$

となる。 $N_L(0, i)$ は l_i よりも小さい弦の数である。れきの直徑の累積分布と弦の分布関数との関係は、

$$N_V(i, K) = \frac{1}{\pi l_i} \frac{dN_L(0, i)}{dl} \quad (9)$$

を得る。 $N_V(i, K)$ は直徑が i よりも大きい粒子の数で、 $dN_L(0, i)/dl$ は実験的に決める弦の分布関数である。

ii) 不連續分布；有限な差について、(9)式を次のように書きかげできる。

$$N_V(i, K) = \frac{2}{\pi \Delta} \frac{N_L(i)}{l_i} \quad (10)$$

および

$$N_V(i+1, K) = \frac{2}{\pi \Delta} \frac{N_L(i+1)}{l_{i+1}} \quad (11)$$

ここで、 $N_L(i)$, $N_L(i+1)$ は、それぞれ $l_i \pm \Delta/2$, $l_{i+1} \pm \Delta/2$ の区间にある弦の数である。(10) と (11) 式の差は、

$$N_V(i) = \frac{2}{\pi \Delta} \left\{ \frac{N_L(i)}{l_i} - \frac{N_L(i+1)}{l_{i+1}} \right\} \quad (12)$$

となる。 $N_V(i)$ は、直徑が l_i と l_{i+1} の間に

ある弦の数である。計算にあたっては、(12)式を変形して

$$N_V(i) = \frac{4}{\pi \Delta^2} \left\{ \frac{N_L(i)}{2i-1} - \frac{N_L(i+1)}{2i+1} \right\} \quad (13)$$

とする。この場合、 $N_V(i)$ は、平均が $\Delta/4$ で、 $\Delta - \Delta/2$ と $\Delta + \Delta/2$ の間の直徑をもつれきの数である。

4. 実験値への適用

平均粒径が 3mm で標準偏差 $\sigma = \sqrt{d_{84}/d_{16}} = 5$ である砂

れきを水路にしき、水を流して Armour Coat を形成させ、その水路床のある線にとって、その凹凸を測定した結果を図 4 に示す。平均こう配と等しい線を引き、この線と切る突起部の長さの分布をうらべると、図 5 となる。これを図中の曲線に示すように平滑化し、その分布を用いて、(13) 式によつて、表面の粒度分布を求める。実測値と比較すると、図 6 となる。Armour Coat が終局的な状態に達せず、水路床表面の粒度分布は測定本数に得られない。この種の場合には、有効な方法といえる。この結果は、さらに χ^2 および植抜法則との結びつきとはかる必要があるが、これについては後述する。

1) 参考文献 4) 大同；混合砂れきならぬ固定床水路の抵抗、第 29 回土木学会年講 昭 49.10

2) R. Fullman; Measurement of Particle Size in Opaque Bodies, Trans Met. Soc. AIME 197 477 (1973)

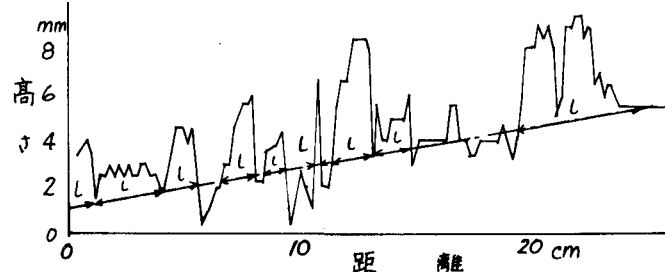


図 4 砕れき面

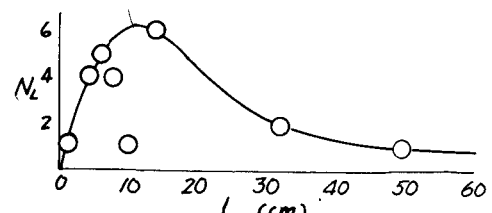


図 5 れきの弦の分布

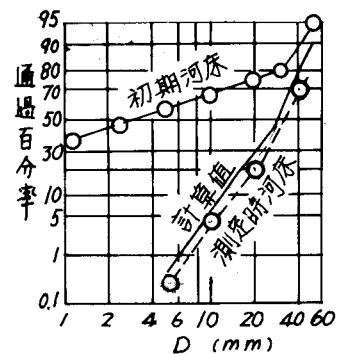


図 6 水路床面のれきの分布